

文章编号: 0254 - 5357( 2005 )02 - 0138 - 03

# P<sub>350</sub> 萃取色谱分离无火焰原子吸收光谱法 测定地球化学样品中的铟

冯 静

( 中国地质调查局沈阳地质调查中心, 辽宁 沈阳 110032 )

**摘要:** 应用甲基膦酸二甲庚脂( P<sub>350</sub> )萃取分离干扰元素, 无火焰原子吸收光谱法测定地球化学样品中的铟。方法检出限为  $0.022 \times 10^{-6}$ , 对铟含量为  $0.064 \mu\text{g/g}$  和  $4.1 \mu\text{g/g}$  的样品进行 11 次测定, RSD 分别为 12.2% 和 6.4%。经过国家一级标准物质分析验证, 结果与标准值符合。

**关键词:** 甲基膦酸二甲庚脂; 萃取色谱; 铟; 无火焰原子吸收光谱法; 地球化学样品  
**中图分类号:** O614.372; O657.31 **文献标识码:** B

铟是一种稀散元素, 是很多造岩矿物的组成部分。虽然它在地壳中的丰度很低, 但是, 随着地质找矿工作的深入开展, 对此元素的分析也尤为重要。以往对于痕量、超痕量铟的分析, 大多数采用有机试剂萃取分光光度法或原子吸收法测定<sup>[1-4]</sup>。有机试剂萃取劳动强度大, 对环境污染严重。本文借鉴前人的经验<sup>[5]</sup>, 用甲基膦酸二甲庚脂预分离富集后, 采用无火焰原子吸收光谱法测定地球化学样品中的铟。方法简便、快速, 能够满足地球化学样品的测试要求。

**铟标准溶液** 按照常规方法配制成  $\rho(\text{In}) = 500 \text{ mg/L}$  的标准储备液, 逐级稀释成  $\rho(\text{In}) = 0.2 \text{ mg/L}$  的工作标准溶液。

表 1 石墨炉工作程序

Table 1 Operation sequence of graphite furnace

步骤	$\theta/^\circ\text{C}$	$t_{\text{升温}}/\text{s}$	$t_{\text{保持}}/\text{s}$
干燥	150	20	10
灰化	800	10	20
原子化	2200	0	3
净化	2500	1	3

## 1 实验部分

### 1.1 仪器及工作条件

PE 5000 型原子吸收分光光度计, HGA - 500 型石墨炉, PRS - 10 型打印机。铟单元素空心阴极灯; 工作条件: 波长 303.9 nm, 灯电流 7 mA, 狭缝 0.2 nm, 峰高积分时间 3 s, 测量方式 AA - BG, 进样量 20  $\mu\text{L}$ , 原子化时停气。石墨炉工作程序见表 1。

### 1.2 主要试剂

甲基膦酸二甲庚脂( P<sub>350</sub> ); 聚二乙烯苯( X - 5 ) 型大孔吸附树脂; 上柱液: 1 mol/L HBr; 提取液: 3.2 mol/L HNO<sub>3</sub> - 100 g/L 抗坏血酸。

### 1.3 色层柱的制备

**X - 5 型吸附树脂的处理** 取 200 g 树脂, 放入 300 mL 三角瓶中, 加 200 mL 无水乙醇, 放在振荡器上振荡 30 min, 取下, 用布氏漏斗抽滤, 反复用乙醇洗至无混浊为止。再用水洗两次, 把树脂转移到瓷盘中于 80 $^\circ\text{C}$  烘干, 即可使用。

**固定相的制备** 取 100 g 树脂于 300 mL 烧杯中, 在不断搅拌下, 逐滴加入 150 mL P<sub>350</sub> 溶液至呈均匀的颗粒状, 在 80 $^\circ\text{C}$  烘干 4 h, 使呈流动的颗粒状, 备用。

**装柱** 将干净的漏斗式 S 型玻璃色层柱(  $\phi$  0.4 cm  $\times$  6 cm ), 底部垫少许玻璃棉, 加入 0.5 g 固

收稿日期: 2004-08-27; 修订日期: 2004-12-19

作者简介: 冯静( 1957 - ), 女, 辽宁省沈阳市人, 教授级高级工程师, 长期从事岩矿测试工作。

定相,高度约5 cm。加少许水通过色层柱,搅至无气泡,上盖少许脱脂棉。色层柱使用前,用20 mL上柱液平衡。

## 1.4 实验方法

### 1.4.1 标准系列的制备

取In标准工作液0.0、0.5、1.0、2.0、3.0、4.0、5.0 mL于10 mL比色管中,加1 mL提取液,用水稀释至刻度,摇匀测定。

### 1.4.2 样品分析

称取试样0.1000~1.0000 g于聚四氟乙烯坩埚中,加10 mL HF,5 mL HNO<sub>3</sub>,1 mL 9 mol/L H<sub>2</sub>SO<sub>4</sub>,于中温电热板上溶解矿样至SO<sub>3</sub>烟冒尽,取下。稍冷,加约2 mL HBr,继续于电热板上蒸干(视As、Sb、Sn等含量确定加入HBr的次数),取下。加10 mL 1 mol/L HBr,提取盐类,加热使之溶解。过滤于已用1 mol/L HBr平衡好的色层柱中。待流尽后,用30 mL上柱液(分几次)淋洗色层柱,加热水2 mL,待流尽后,用15 mL热水(分2次)洗脱In于25 mL烧杯中,取下,加5滴9 mol/L H<sub>2</sub>SO<sub>4</sub>,于电热板上蒸至SO<sub>3</sub>烟冒尽,取下。用1 mL 3.2 mol/L HNO<sub>3</sub>-100 g/L抗坏血酸提取液提取后转入10 mL比色管中,用水稀至刻度,摇匀,测定。

## 2 结果与讨论

### 2.1 灰化和原子化温度的影响

按照实验方法,制备0.2 mg/L In标准溶液,固定其它测定条件,试验灰化温度及原子化温度的影响(表2)。结果表明:灰化温度达到800 °C,原子化温度达到2200 °C,灵敏度最佳。

表2 灰化和原子化温度的影响

Table 2 The effect of ashing and atomizing temperature

$\theta_{\text{灰化}}/^{\circ}\text{C}$	吸光值 A	$\theta_{\text{原子化}}/^{\circ}\text{C}$	吸光值 A
500	0.233	1900	0.159
600	0.236	2000	0.219
700	0.239	2100	0.232
800	0.241	2200	0.236
900	0.236	2300	0.189
1000	0.230	2400	0.143
1100	0.192		

### 2.2 介质选择

在所选用的HBr体系中,采用P<sub>350</sub>分离富集的同时,有部分Fe(Ⅲ)、Ti(Ⅳ)等能同时被吸附,当

用水洗脱In的同时,也随之被解脱下来,抑制In的吸光度,干扰测定。本文试验了几种基体改进剂。试验表明:抗坏血酸不仅能消除Fe(Ⅲ)、Ti(Ⅳ)等的干扰,而且对In的吸光值具有增感效应(表3)。通过对同一浓度的In试验,抗坏血酸浓度在10~50 g/L,其In的吸光值基本一致。故本文确定测定In的介质为10 g/L抗坏血酸-0.32 mol/L HNO<sub>3</sub>。

表3 抗坏血酸对In测定的影响<sup>①</sup>

Table 3 The effect of Vc on the determination of In

$w(\text{In})/(\mu\text{g}\cdot\text{L}^{-1})$	吸光值 A		$w(\text{In})/(\mu\text{g}\cdot\text{L}^{-1})$	吸光值 A	
	加入 Vc	不加 Vc		加入 Vc	不加 Vc
5	0.046	0.030	20	0.181	0.131
10	0.091	0.062	25	0.227	0.160
15	0.141	0.094	50	0.461	0.320

① 测定介质为0.32 mol/L HNO<sub>3</sub>,加入抗坏血酸的质量浓度为10 g/L。

### 2.3 分离富集条件的选择

本文试验了用于P<sub>350</sub>分离富集In的上柱溶液及淋洗液,结果表明:在H<sub>2</sub>SO<sub>4</sub>-Na<sub>2</sub>SO<sub>4</sub>体系中<sup>[6]</sup>,大量的Na盐存在,严重干扰In的测量信号,即使采用卤素灯扣背景,也无法消除。而在HBr体系中,当HBr的浓度为1 mol/L时,In的吸附就基本完全<sup>[6]</sup>。当HBr的浓度低于1 mol/L时,In的吸附会随之降低。这样用水即可改变吸附条件,使之被吸附的In随着酸度的改变而解吸下来。本文试验用10 mL水做解脱剂,即可将In全部解脱完全。

### 2.4 洗脱曲线

取0.5 μg In和2 μg In标准溶液于事先平衡好的色层柱上(用30 mL 1 mol/L HBr平衡),待流尽后,用30 mL上柱液(分几次)淋洗色层柱,用热水洗脱柱上的In,每2 mL接一份,共10份,取下,加5滴9 mol/L H<sub>2</sub>SO<sub>4</sub>,于电热板上蒸至SO<sub>3</sub>烟冒尽,取下,用1 mL提取液提取后转入10 mL比色管中,用水稀至刻度,摇匀,测定。结果如图1所示,10 mL热水就可将In洗脱完全。

### 2.5 干扰元素的分离

取0.2 μg In标准溶液,试验了常见的11种元素的干扰情况。当相对误差不大于±5%时,其允许存在量分别为Fe<sup>3+</sup>、Ca<sup>2+</sup>、Mg<sup>2+</sup>、Na<sup>+</sup> 100 mg, Al<sup>3+</sup> 50 mg, K<sup>+</sup> 40 mg, Ti<sup>4+</sup>、Cu<sup>2+</sup>、Pb<sup>2+</sup>、Zn<sup>2+</sup>、Cd<sup>2+</sup> 10 mg,经色层柱分离后均不干扰测定。

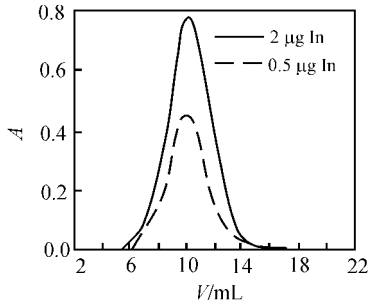


图1 In 标准溶液洗脱曲线  
Fig. 1 The elution curve of In

2.6 方法精密度

按实验方法,对国家一级标准物质 GBW 07105、GBW 07405 各取 11 份,按样品分析进行测定,精密度试验结果见表 4。

表4 方法的精密度  
Table 4 The precision of the method

样号	$w(\text{In})/(\mu\text{g} \cdot \text{g}^{-1})$				$\bar{x}$	RSD/%
	标准值	单次测定值				
GBW 07105	0.064	0.068	0.080	0.058	0.062	11.52
		0.062	0.069	0.062	0.070	
		0.056	0.054	0.064		
GBW 07405	4.1	4.3	4.0	4.0	4.1	6.04
		3.9	3.6	3.9	3.6	
		4.1	3.6	3.8	3.7	

2.7 检出限和准确度

在选定的最佳实验条件下,In 的浓度在 0 ~ 0.50 mg/L,工作曲线呈良好的线性。用11份空

白(加少许 In 的标准溶液),按样品分析手续进行测定,吸光度在 0.023 ~ 0.039。检出限(3σ)为 0.022 × 10<sup>-6</sup>。对 7 个不同岩性的国家一级标准物质,按样品分析手续进行测定,分析结果见表 5。

表5 分析结果对照  
Table 5 Comparison of analytical results

样号	$w(\text{In})/(\mu\text{g} \cdot \text{g}^{-1})$		相对误差 RE/%
	标准值	测定值	
GBW 07105	0.064 ± 0.022	0.070	9.38
GBW 07402	0.09 ± 0.03	0.094	4.44
GBW 07405	4.1 ± 0.6	4.16	1.46
GBW 07306	0.14 ± 0.02	0.13	-7.14
GBW 07310	0.067 ± 0.015	0.072	7.46
GBW 07311	1.9 ± 0.3	1.83	-3.68
GBW 07312	0.96 ± 0.17	0.90	-6.25

3 参考文献

[1] 段群章,段武君. 铟的光度分析近况[J]. 上海金属. 1990, 11(4): 51—55.  
 [2] 王仁寿,陆春华. 原子吸收光谱法测定岩石矿物中的微量铟[J]. 桂林冶金地质学院学报. 1992, 12(1): 113—116.  
 [3] 杨军红. 石墨炉原子吸收光谱法测定高温合金中痕量铟[J]. 光谱实验室. 2000, 17(2): 176—180.  
 [4] 王文国. 高温合金中痕量 In、Tl 分析方法研究[J]. 金属材料研究. 2001, 27(4): 38—40.  
 [5] 钱程. P<sub>350</sub> 萃取色谱分离和岩石中痕量镓的测定[J]. 岩石矿物及测试(岩矿测试). 1985, 4(4): 346—350.  
 [6] 范必威,孔青春. P<sub>350</sub> 萃取色谱法分离镓、铟、铊[J]. 分析化学. 1988, 16(7): 625—626.

# Determination of Indium in Geochemical Samples by Non-flame Atomic Absorption Spectroscopy with P<sub>350</sub> Extraction Chromatography

FENG Jing

(Shenyang Center, China Geological Survey, Shenyang Liaoning 110032, China)

**Abstract:** Indium in geochemical samples can be determined by non-flame atomic absorption spectroscopy with P<sub>350</sub> extraction to remove interference elements. The detection limit of the method is 0.022 × 10<sup>-6</sup>. The analytical precision for the samples with  $w(\text{In}) = 0.064 \mu\text{g/g}$  and  $w(\text{In}) = 4.1 \mu\text{g/g}$  were 6.4% and 12.2% (RSD,  $n = 11$ ). The method has been verified by determination of indium in standard reference samples.

**Key words:** P<sub>350</sub> extraction chromatograph; indium; non-flame atomic absorption spectroscopy; geochemical sample